

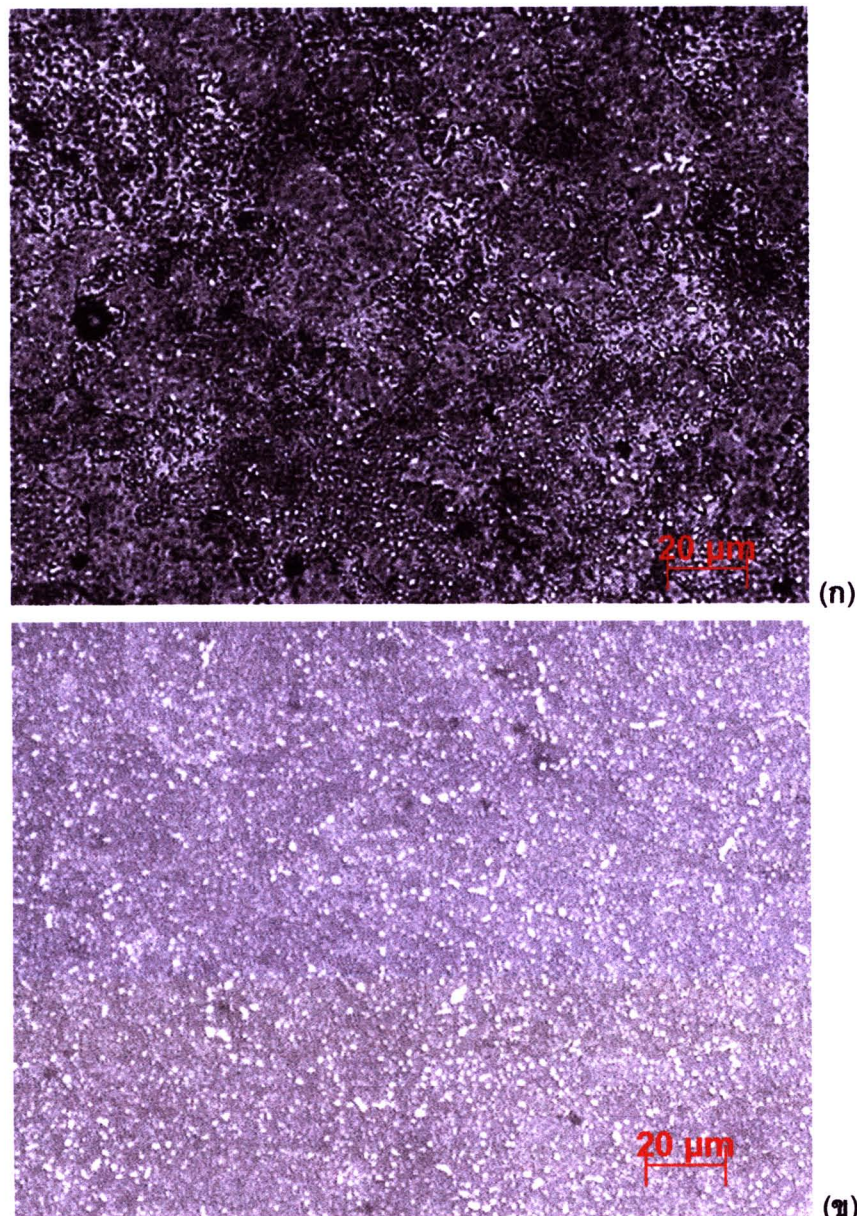
รายการอ้างอิง

- [1] ASM International. Heat treater's guide practices and procedures for irons and steels. USA: ASM International, 2006.
- [2] L. Zhao, F.J. Vermolen, A. Wauthier, and J. SIETSMA. Cementite dissolution at 860 °C in an Fe-Cr-C Steel. Metallurgical and materials transaction A volume 37A (2006): 1841-1849.
- [3] G. Krauss. STEEL: Heat Treatment and Processing Principles. USA: ASM International, 1995.
- [4] มนัส สดิรัจนา. วิศวกรรมการอบซุบเหล็ก. กรุงเทพมหานคร: สำนักพิมพ์แห่งจุฬาลงกรณ์มหาวิทยาลัย, 2540.
- [5] ASM International. ASM handbook volume 4 heat treating. USA: ASM International, 1995.
- [6] N.V. Luzginova, L.Zhao and J.Sietsma. The cementite spheroidization process in high-carbon steels with different chromium contents. Metallurgical and materials transaction A volume 39A (2008): 513-521.
- [7] Kozo Nagazawa, George Krauss. Microstructure and fracture of 52100 steel. Metallurgical transaction A volume 9A (1978): 681-689.
- [8] E.L. Brown , George Krauss. Retained carbide distribution in intercritically austenitized 52100 Steel. Metallurgical transaction A volume 17A (1986): 31-36.
- [9] C.A. Stickels. Carbide refining heat treatments for 52100 bearing steel. Met. Trans. volume 5 (1974): 865-874.
- [10] Arlan O. Benscoter. ASM handbook volume 9 metallography and microstructure, 9th edition. USA: ASM International, 1995.
- [11] ASTM. Standard Practice Determination Of Retained Austenite In steel with near random crystallographic orientation. Standard E975-03 ASTM 2003: 770-775.
- [12] Robert T. Dehoff and Frederick N. Rhines. Quantitative Microscopy. USA: McGraw-Hill, 1968.

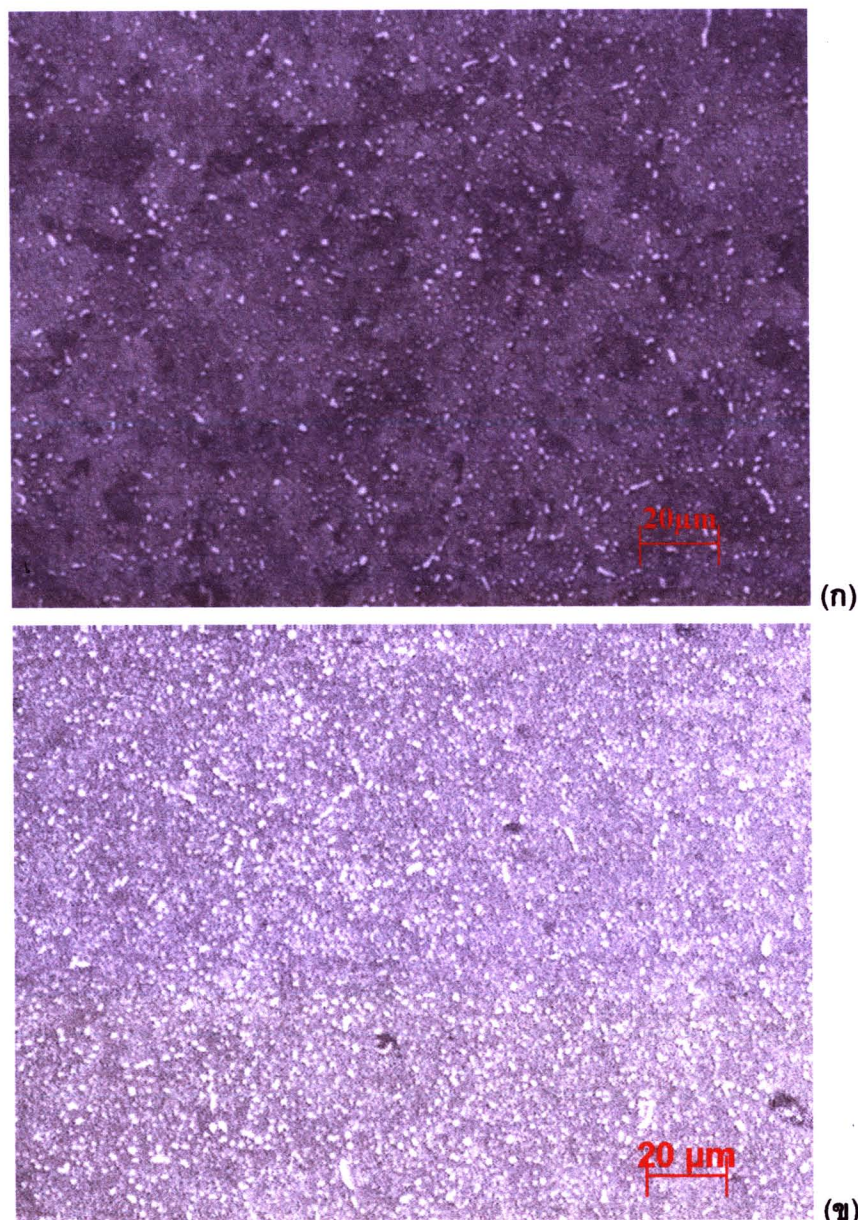


ภาคผนวก

ภาคผนวก ก



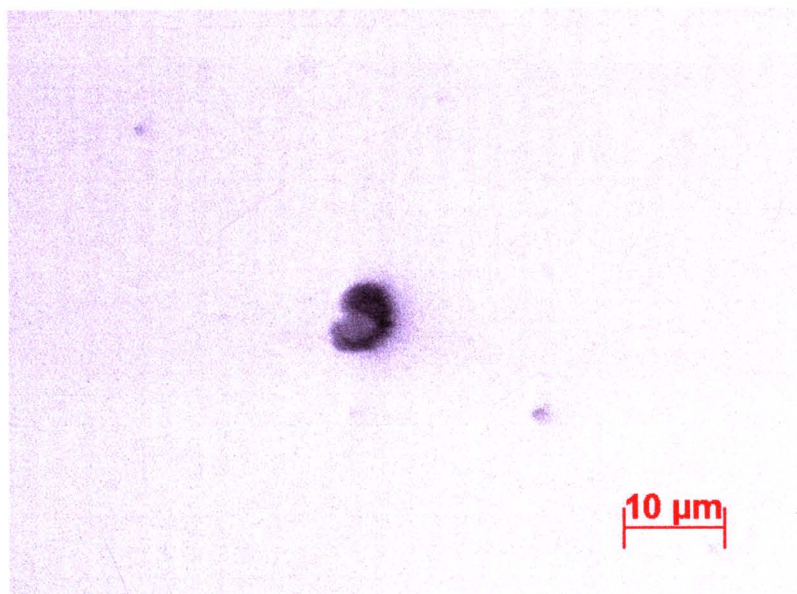
รูปที่ ก.1 ชิ้นงานโครงสร้างจุลภาค ชิเมนไต์บนเนื้อพื้นเพอร์ไบร์ต์กัตผิวด้วยสารละลายน้ำกับ 200x (g) สารละลายนี Beraha (x) สารละลายนี Klemm



รูปที่ ก.2 ชั้นงานโครงสร้างจุลภาค ชีเมนไต์บนเนื้อพื้นเพื่อริเรตกัดผิวด้วยสารละลาย
Klemm ใช้เวลาต่างกัน 200x (ก) 1 นาที (x) 1.5 นาที

10 μm

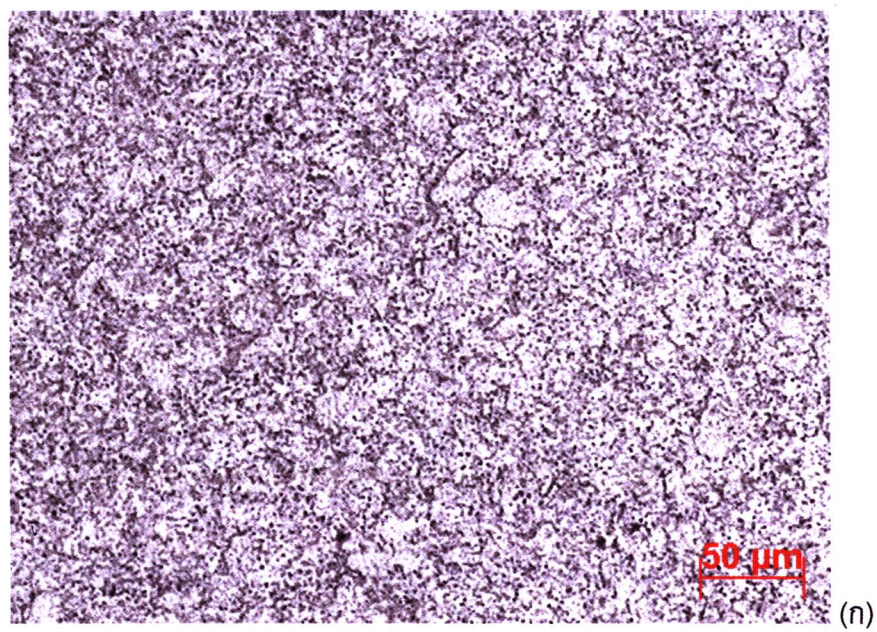
(n)

10 μm

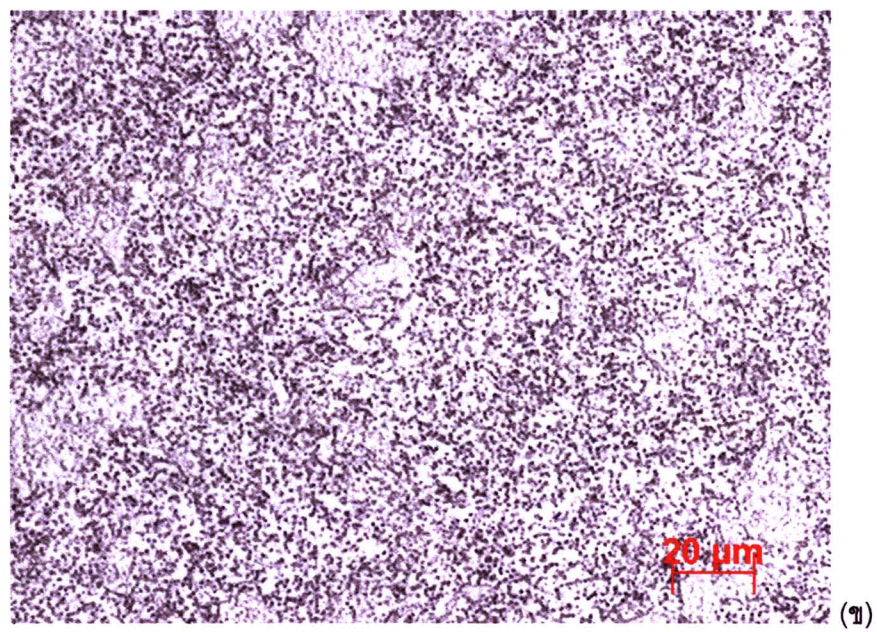
(x)

รูปที่ ก.3 MnS ขนาดต่างกันในชิ้นงานที่หั่นไม่ซับแซง 500x (ก) ขนาดใหญ่ (ข) ขนาดเล็ก

ภาคผนวก ๊

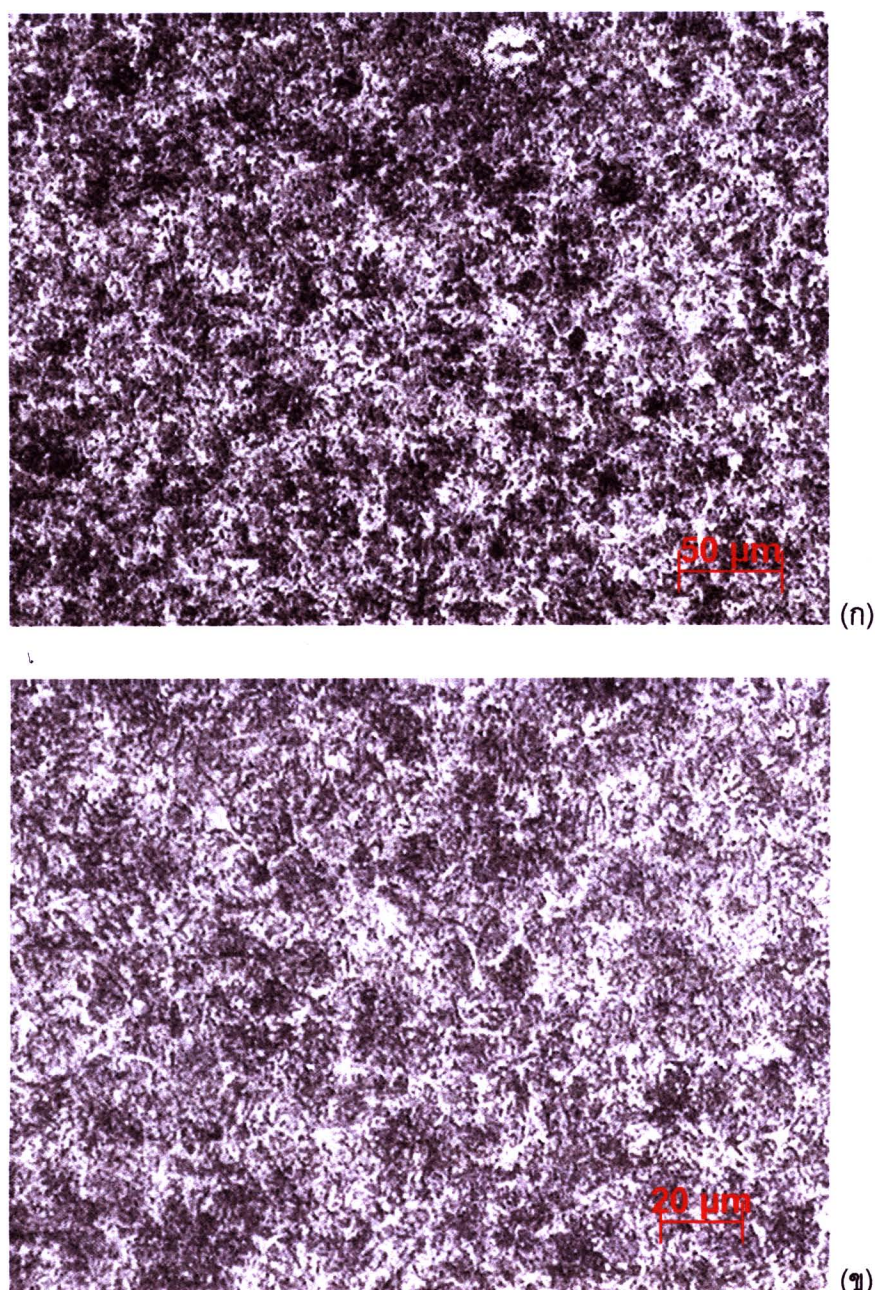


(n)

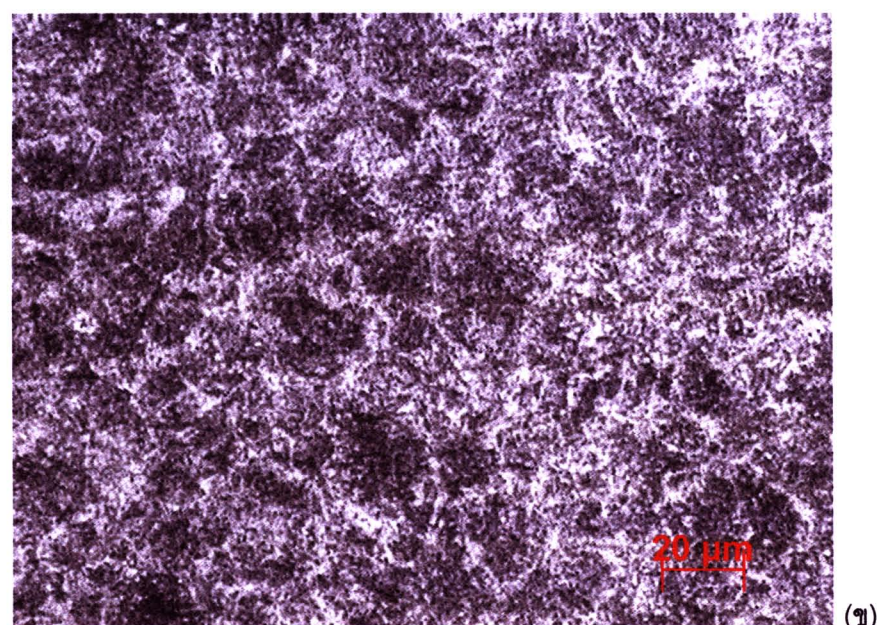
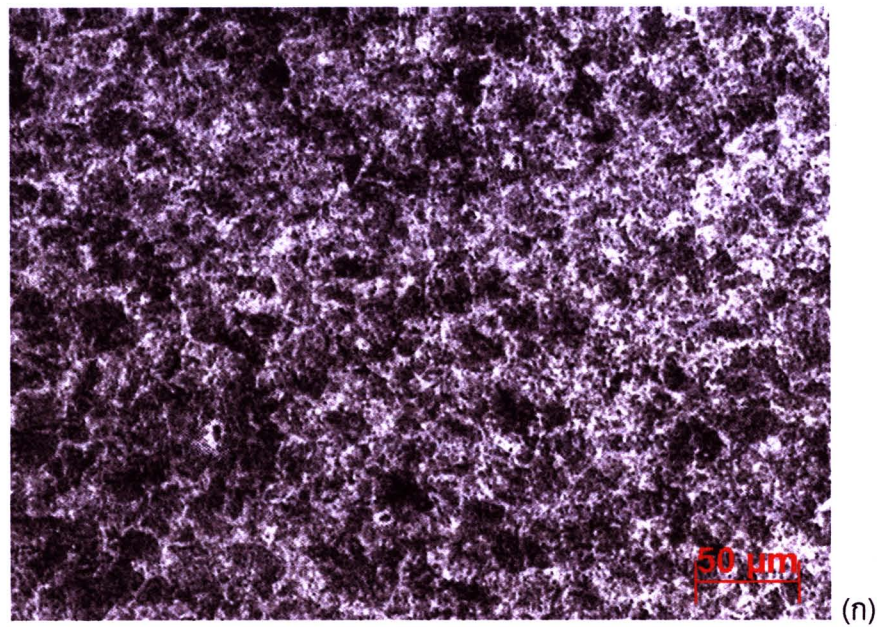


(x)

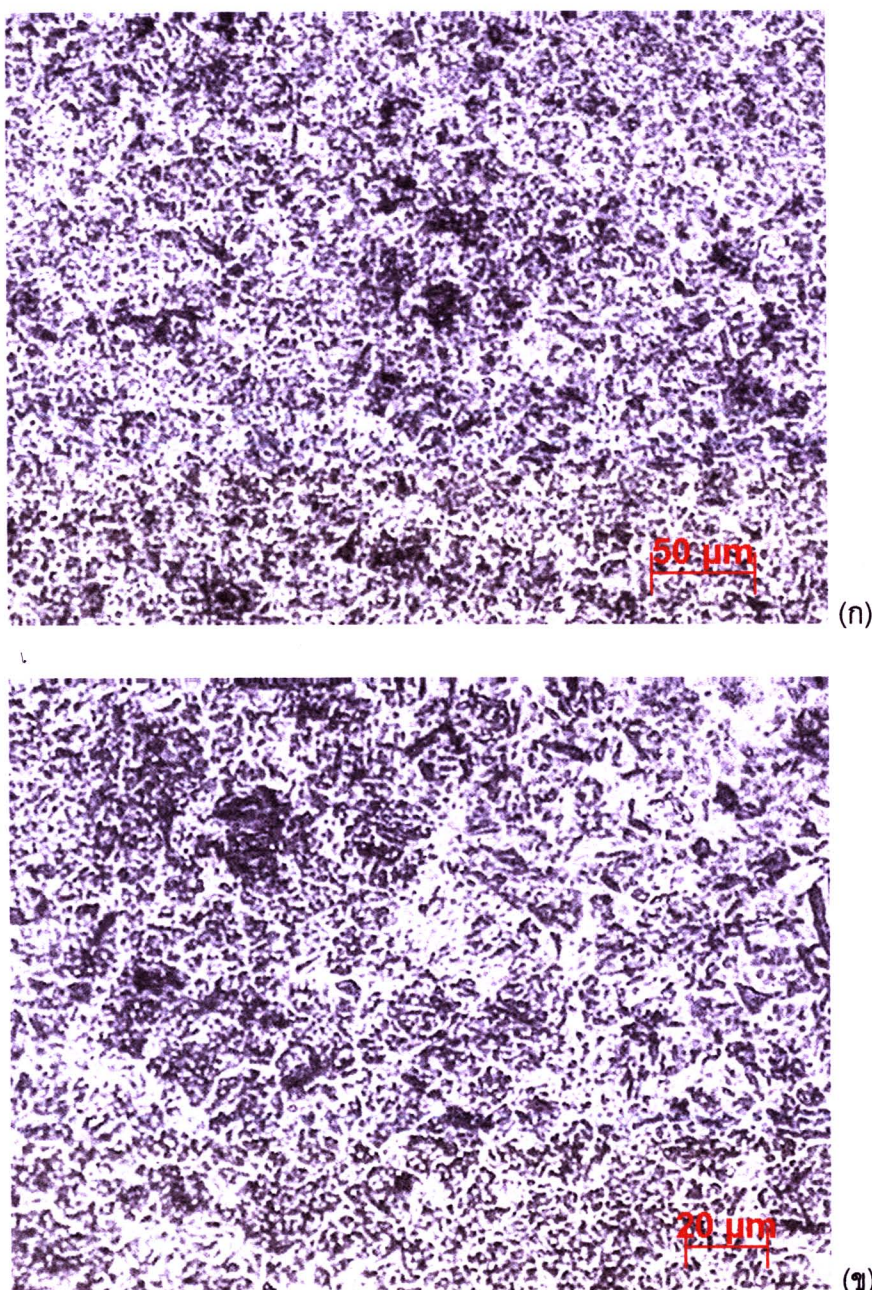
รูปที่ ๊.๑ โครงสร้างจุลภาคเริ่มต้นของชิ้นงานซีเมนタイト์กลมบนเนื้อพื้นเพอร์ไบร็อกัติว
ด้วยสารละลายนิตอล % (n) 100x (x) 200x



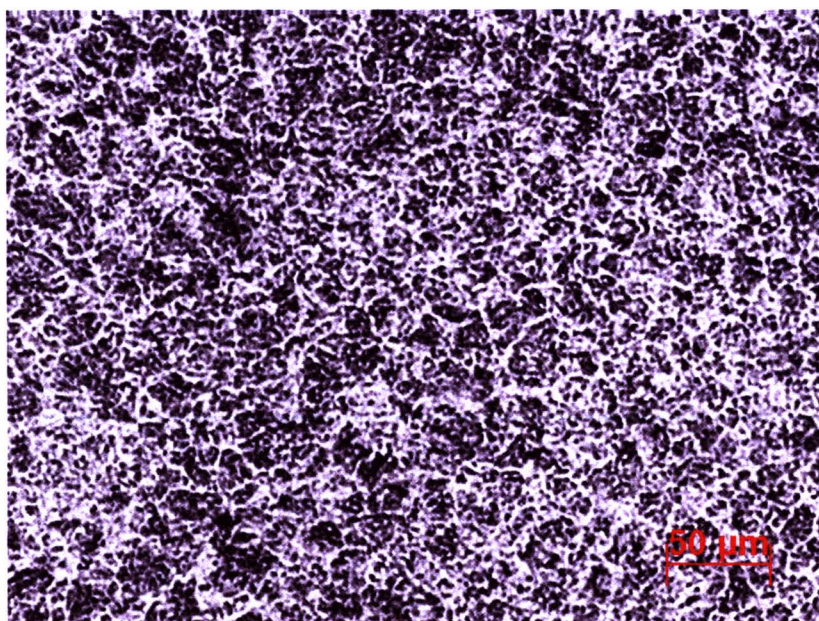
รูปที่ ๙.๒ โครงสร้างจุลภาคเมื่ออุณหภูมิอบให้เป็นอุกสเทนในต์ที่ 800°C และอบคินตัวกัดผิวด้วยสารละลายนิเตล 2 % (g) 100x (h) 200x



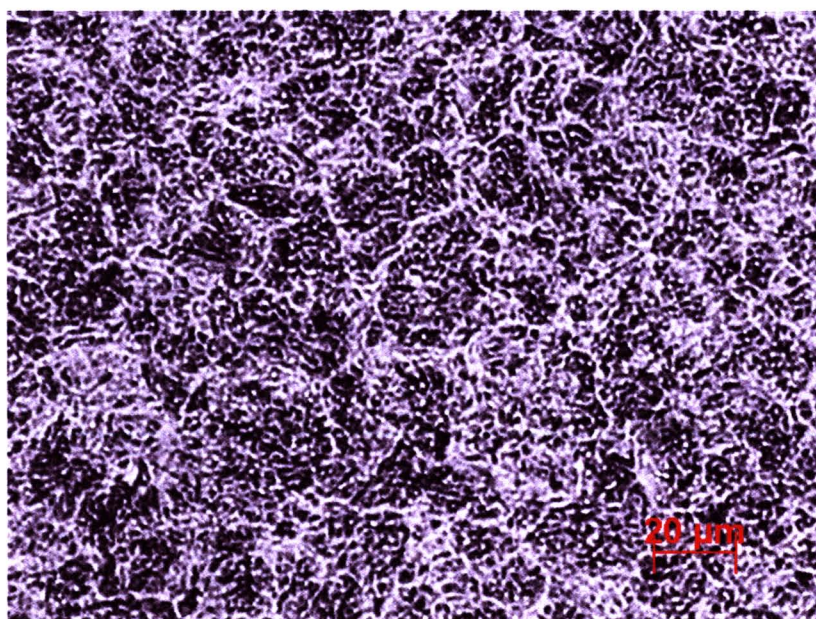
รูปที่ ข.3 โครงสร้างจุลภาคเมื่ออุณหภูมิอบให้เป็นอุกอาจในตี 815°C และอบคินตัวกัดผิวด้วยสารละลายน้ำ 2 % (n) 100x (x) 200x



รูปที่ ข.4 โครงสร้างจุลภาคเมื่ออุณหภูมิอบให้เป็นօอสเทนในตี 845°C และอบคินตัวกัดผิวด้วยสารละลายนital 2 % (g) 100x (x) 200x

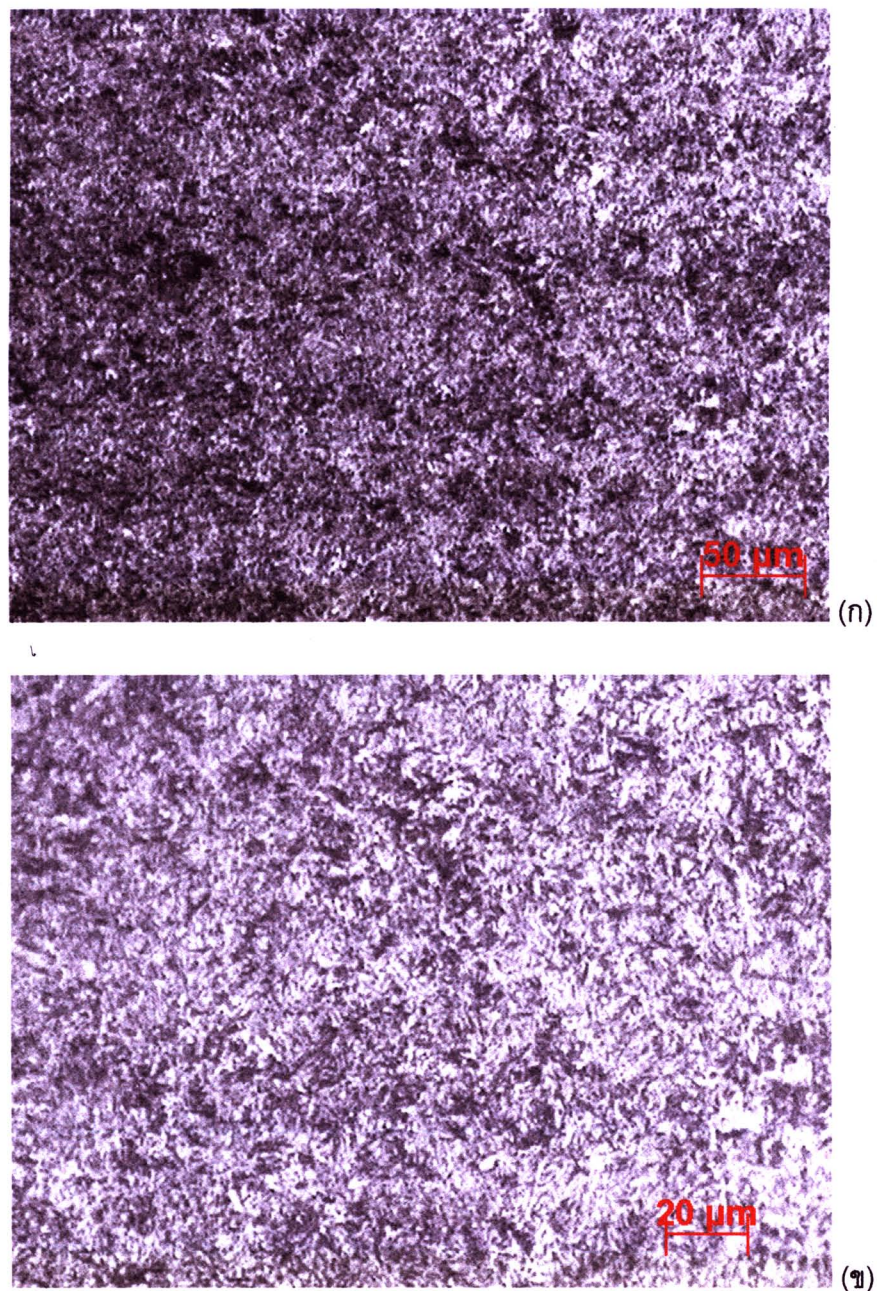


(ก)



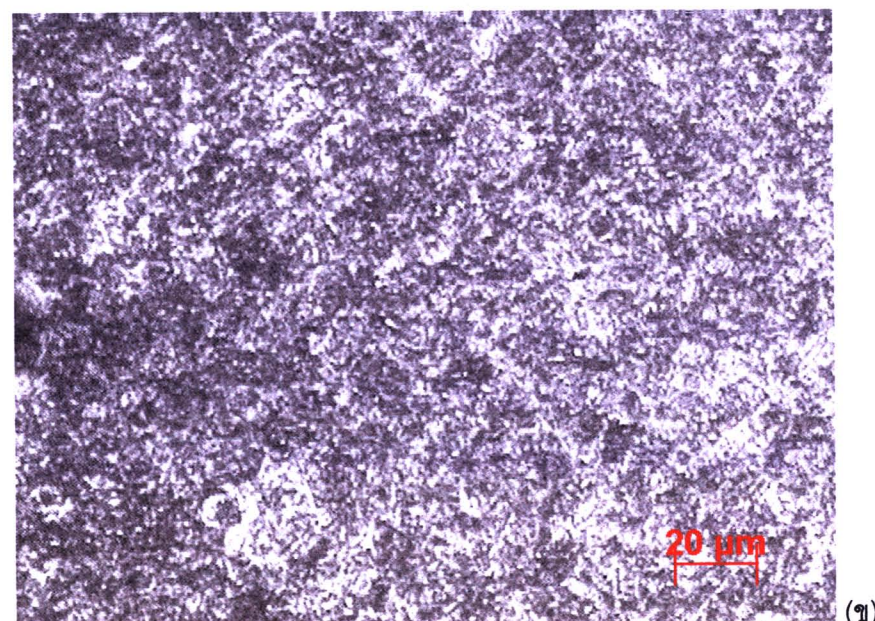
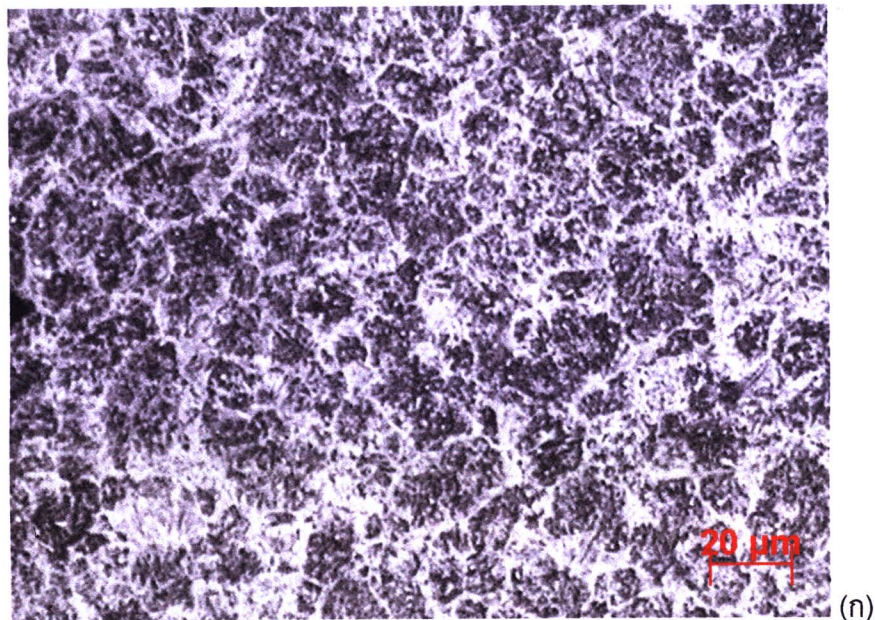
(ข)

รูปที่ ข.5 โครงสร้างจุลภาคเมื่ออุณหภูมิอบให้เป็นอօสเทนในตที่ 860°C และอบคินตัวกัดผิวด้วยสารละลายนital 2 % (ก) 100x (ข) 200x

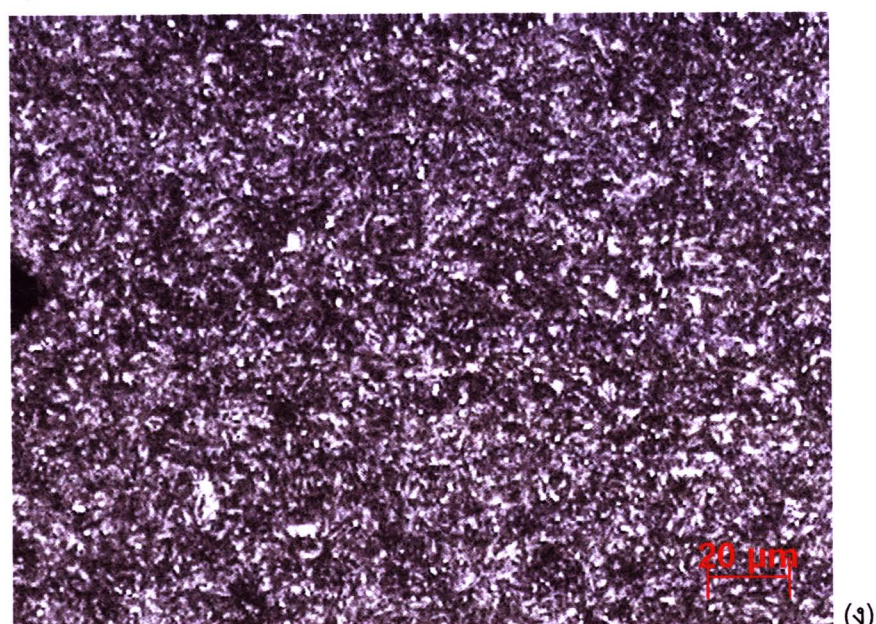
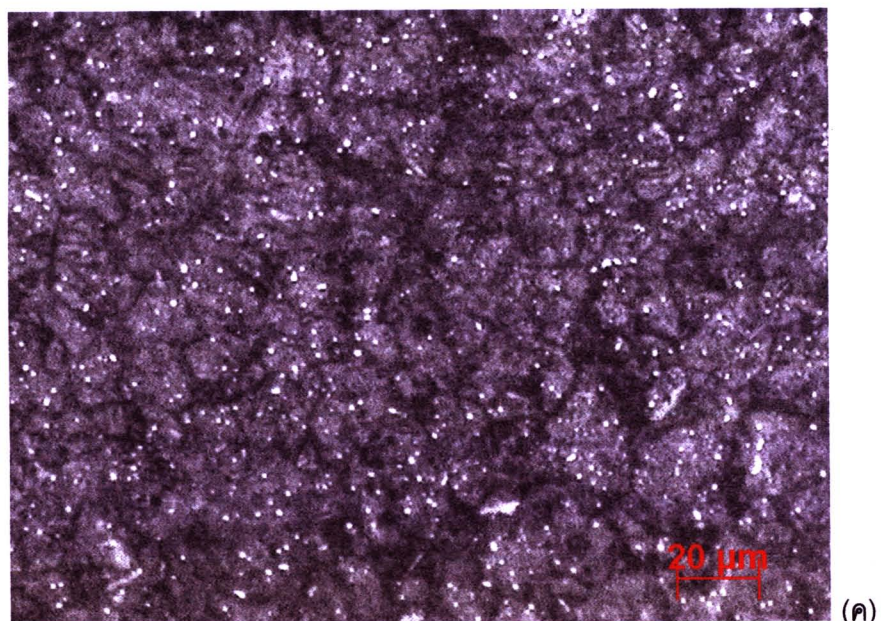


รูปที่ ๖ โครงสร้างจุลภาคเมื่ออุณหภูมิอบให้เป็นօอสเทนในครั้งที่ 900°C และอบคืนตัวกัดผิวด้วยสารละลายนิทัล ๒ % (n) ๑๐๐ \times (x) ๒๐๐ \times

ภาคผนวก ค



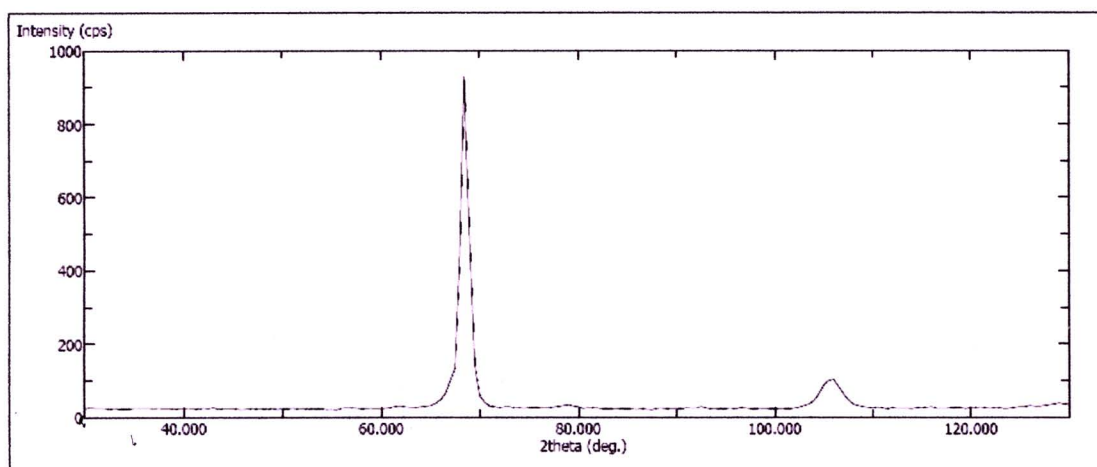
รูปที่ ค.1 โครงสร้างจุลภาคหลังชุบแข็งและอบคินตัวกัดผิวด้วยสารละลายต่างกัน 200x
(ก) nital 2% (ข) natal 2%+picral (ค) สารละลาย Klemm (ง) สารละลาย Beraha



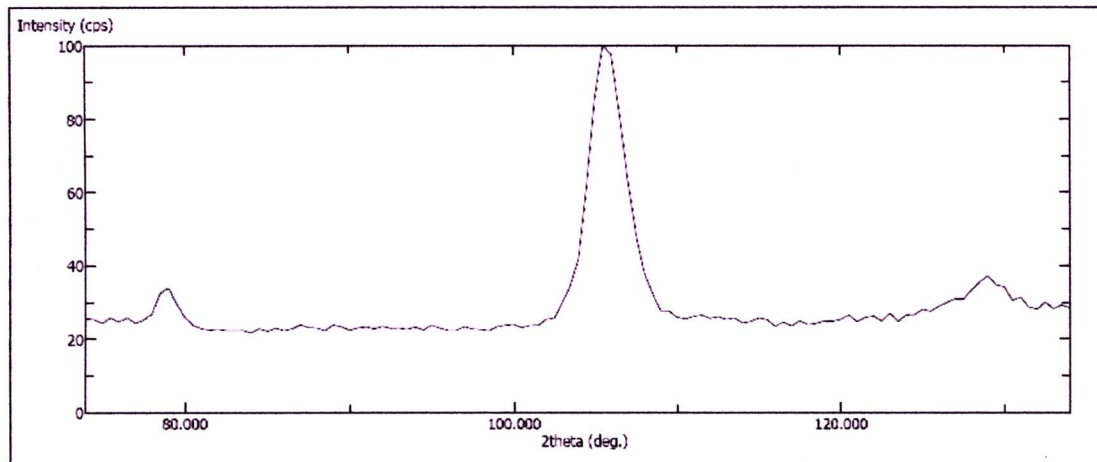
รูปที่ ค.1(ต่อ) โครงสร้างจุลภาคหลังชุบแม็กและอบคินตัวกัดผิวด้วยสารละลายน้ำกัน
200x (η) nital 2% (χ) natal 2%+picral (κ) สารละลายน้ำ Klemm (η) สารละลายน้ำ Beraha

ภาคผนวก ๔

ผลของปริมาณօօօօສເທນໄຟ້ຕ່ອກກຳນົດຄວາມເຮົວໃນກາຣ scan



ຮູບທີ ៤.1 ກາຣຟແສດງຜລຈາກເຄຣີອງຮັງສີເລັກຊືບແບບເລື່ອວເບນຂອງຫຸ້ນຈານໃຊ້ອຸນຫງົມອົບໄຫ້ເປັນອຸ່ນຫງົມໂອສເທນໄຟ້ 900°C ແລະ ອົບຄິນຕັ້ງໃຊ້ຄວາມເຮົວໃນກາຣ scan 2°/ນາທີ



ຮູບທີ ៤.2 ກາຣຟແສດງຜລຈາກເຄຣີອງຮັງສີເລັກຊືບແບບເລື່ອວເບນຂອງຫຸ້ນຈານໃຊ້ອຸນຫງົມອົບໄຫ້ເປັນອຸ່ນຫງົມໂອສເທນໄຟ້ 900°C ແລະ ອົບຄິນຕັ້ງໃຊ້ຄວາມເຮົວໃນກາຣ scan 0.5°/ນາທີ

ເນື່ອງຈາກປົມານອຸ່ນຫງົມໂອສເທນໄຟ້ ເລື່ອຄ້າງມີປົມານນ້ອຍທາກໃຊ້ຄວາມເຮົວໃນກາຣ scan ທີ່
ມາກຄ່າ intensity ຂອງອຸ່ນຫງົມໂອສເທນໄຟ້ ຕໍ່ມາກພາຍຫລັງລົບ background ແລ້ວຄ່າ intensity ຂອງອຸ່ນຫງົມ
ໂອສເທນໄຟ້ ຖືກລົບຈຸນໜົດໄໝສາມາຮັດຄໍານວນຫາ integrate intensity ດັ່ງນັ້ນສໍາເລັດກາຮາປົມານອຸ່ນຫງົມ
ໂອສເທນໄຟ້ ທີ່ມີປົມານນ້ອຍຕ້ອງລັດຄວາມເຮົວໃນກາຣ scan ລະ

ค่า theoretical integrate intensity (R) ที่ใช้ในการคำนวณหาอัตราส่วนในรูป

ค่า theoretical integrate intensity เป็นค่าที่ขึ้นกับ interplanar spacing (hkl), Bragg angle, crystal structure และส่วนประกอบของเฟสที่จะวัด หากค่าได้จากสมการ

$$R^{hkl} = (|F|^2 p L P e^{-2M}) / v^2$$

โดย F = structure factor

p = multiplicity factor ที่ระบุ (hkl)

$L P$ = Lorentz polarization factor

e^{-2M} = Debye-Waller หรือ temperature factor

v = ปริมาตรของ unit cell



ผลการคำนวณพบว่าค่า theoretical integrate intensity ของมาร์กนีไซด์มีค่าเท่ากับค่าของเฟอร์ไรต์ในการคำนวณใช้ค่า theoretical integrate intensity ของเฟอร์ไรต์ได้ค่า theoretical integrate intensity ของแต่ละเฟส เมื่อใช้เป้าเป็นโครงเมียมในตั้งตาร่างที่ ง.1

ตารางที่ ง.1 ผลการคำนวณค่า theoretical integrate intensity เมื่อใช้เป้าโครงเมียม[11]

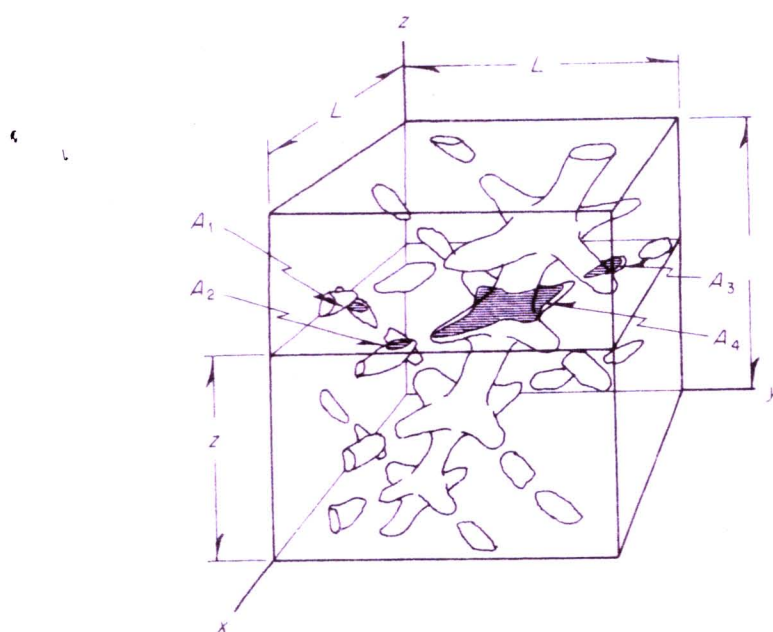
hkl	$\sin(\theta)/\lambda$	θ	f	ΔF	$\Delta F'$	$ F ^2$	LP	P	$T^\#$	N^2	R
<i>(α iron, body-centered cubic, unit-cell dimension $a_0 = 2.8664\text{\AA}$):</i>											
110	0.24669	34.41	18.474	-1.6	0.9	1142.2	4.290	12	0.9577	0.001803 [#]	101.5 ^c
200	0.34887	53.06	15.218	-1.6	0.9	745.0	2.805	6	0.9172	0.001803 [#]	20.73 ^c
211	0.42728	78.20	13.133	-1.6	0.8	534.6	9.388	24	0.8784	0.001803 [#]	190.8 ^c
<i>(γ iron, face-centered cubic, unit-cell dimension $a_0 = 3.60\text{\AA}$):</i>											
111	0.24056	33.44	18.687	-1.6	0.9	4684.4	4.554	8	0.9597	0.0004594 [#]	75.24 ^c
200	0.27778	39.52	17.422	-1.6	0.9	4018.3	3.317	6	0.9467	0.0004594 [#]	34.78 ^c
220	0.39284	64.15	14.004	-1.6	0.8	2472.0	3.920	12	0.8962	0.0004594 [#]	47.88 ^c

ภาคผนวก จ

การประมาณค่าแบบไม่ล้าเอียง (unbiased estimate) ของค่าสัดส่วนเชิงปริมาตร

พบว่าการประมาณค่าของสัดส่วนเชิงปริมาตรได้เท่ากับสัดส่วนเชิงพื้นที่ทำได้ ซึ่งพิสูจน์แล้วโดยการทดลองโดย A. Delesse หรืออธิบายได้ด้วยความสัมพันธ์ทางคณิตศาสตร์ดังนี้ [12] เมื่อพิจารณาปริมาตรของเฟลที่ถูกตัดออกตามด้วยทรงลูกบาศก์ที่มีความยาวด้านเป็น L ดังแสดงในรูปที่

จ.1



รูปที่ จ.1 ระยะสมมุติที่ตัดในรูปลูกบาศก์ พื้นที่รวมของเฟลที่ระยะสมมุติที่ของเฟล

เมื่อมีระนาบสมมุติขนาดกับระนาบ XY และมีระยะทางตามแกน Z โดยแกน Z มีค่าตั้งแต่ 0 ถึง L โดยให้ค่า $A(z)$ คือ พื้นที่รวมของเฟลที่ระยะสมมุติในทรงลูกบาศก์ ดังนั้นสัดส่วนเชิงพื้นที่ของเฟลสมิค่าดังสมการ

$$Aa(z) = \frac{A(z)}{L^2}$$

เมื่อ $Aa(z)$ คือสัดส่วนเชิงพื้นที่ของเฟลที่ระยะ Z ใดๆ ดังนั้นปริมาณเชิงพื้นที่เฉลี่ยของเฟลในรูปทรงลูกบาศก์มีค่าดังสมการ

$$E(Aa) = \bar{A}a = \int_0^L Aa(Z)F(Z)dz$$

โดยค่า $E(Aa)$ คือ expect value เฉลี่ยในทุกระนาบตั้งแต่ระนาบที่ $Z = 0$ ถึง $Z = L$ และค่า $F(Z)dz$ คือความน่าจะเป็นที่พบระนาบสมมุติที่มีเฟสอยู่ที่ระยะตั้งแต่ Z ถึง $Z+dz$ และถ้า การเลือกระนาบสมมุติที่ใช้หาปริมาณเนื้อเฟสเป็นแบบสุ่ม (random) จะได้ว่า $F(Z)dz = dz/L$ ตั้ง สัดส่วนเชิงพื้นที่เฉลี่ยของเฟส มีค่าดังสมการ

$$\bar{A}a = \int_0^L Aa(Z) \frac{dz}{L} = \int_0^L \frac{A(Z)dz}{L^3}$$

เมื่อรวมค่าสัดส่วนเชิงพื้นที่ของเฟสในทุกๆ ระนาบสมมุติในทรงลูกบาศก์ตั้งแต่ระยะ $Z = 0$ ถึง ระยะ $Z = L$ ค่าที่ได้คือปริมาตรของเฟส (V) ตั้งนั้นความสัมพันธ์ระหว่างสัดส่วนเชิงพื้นที่และ สัดส่วนเชิงปริมาตร (Vv) เป็นไปดังสมการ

$$\bar{A}a = \frac{V}{L^3} = Vv$$

จากการทดลอง A. Delesse ของและการพิสูจน์ด้วยความสัมพันธ์ทางคณิตศาสตร์ที่ พบว่าการประมาณค่าแบบไม่ทำเอียง (unbiased estimate) ของสัดส่วนเชิงปริมาตรประมาณค่า ได้ตรงกับสัดส่วนเชิงพื้นที่

ภาคผนวก ฉ

ตาราง ฉ.1 ค่าเฉลี่ย (\bar{x}) และค่าเบี่ยงเบนมาตรฐาน (SD) ของปริมาณซีเมนต์ของ
ชิ้นงานใช้อุณหภูมิอบให้เป็นอossเทนในต์ต่างๆ และอบคินตัว

อุณหภูมิอบให้เป็น อossเทนในต์ (°C)	ค่าเฉลี่ย (\bar{x})	ค่าเบี่ยงเบนมาตรฐาน (SD)
800	8.5	0.8
815	7.4	1.0
845	5.2	0.9
860	4.1	1.5
900	2.8	3.6

ประวัติผู้เขียนวิทยานิพนธ์



ชื่อ – นามสกุล	นายเฝ่าพันธุ์ เอื้ออารีย์กุลเลศ
วัน – เดือน – ปีเกิด	31 ตุลาคม 2527
ที่อยู่	30 ช. เทศา ถ. บำรุงเมือง แขวงวัดราชบพิธ เขตพระนคร กรุงเทพฯ 10200
วุฒิการศึกษา	วิศวกรรมศาสตรบัณฑิต สาขาวิศวกรรมโลหการ
คณะวิศวกรรมศาสตร์ จุฬาลงกรณ์มหาวิทยาลัย ปี 2549	
โทรศัพท์ติดต่อ	081-658-9693

